

INSTITUTO FEDERAL DE GOIÁS
Engenharia de Controle e Automação

**CONTROLE PID ANTI-WINDUP COM REJEIÇÃO DE
PERTURBAÇÕES**

Alexandre Alves Trindade

RESUMO

O presente trabalho consiste em projetar controlador PID, com técnica antiwindup e presença de perturbação adicionado ao sistema de controle. Para testar o controlador projetado, a parte experimental de montagem e visualização dos dados em tempo real devem ser realizadas. O projeto elétrico foi modificado conforme a disponibilidade de componentes, e principalmente para ter aquecimento rápido, foi usado resistências adequadas. O método utilizado para obter parâmetros do PID foi Ziegler-Nichols, para discretizar as funções transferência o método de Euler (emulação). A análise gráfica dos resultados obtidos durante o período de meia hora de experimento atestam que o sinal de perturbação não foi capaz de modificar tanto o sinal de controle, devido às características da planta.

CONTEÚDO

Pág.

Lista de Figuras

CAPÍTULO 1 - Introdução	1
CAPÍTULO 2 - Metodologia	3
2.1 Montagem do Experimento	3
2.2 Função de Transferência da Planta	5
2.3 Método de Ziegler-Nichols	6
2.4 Método de Euler	7
2.5 Lugar das Raízes	8
2.6 Equação a Diferenças	10
CAPÍTULO 3 - Resultados e Discussão	12
CAPÍTULO 4 - Conclusão	15
Referências	16
APÊNDICE A - Código Fonte Aquecimento Constante	17
APÊNDICE B - Código Fonte do Matlab para Obter a FT da Planta . .	18
APÊNDICE C - Código Fonte Controle PID no Microcontrolador	20
APÊNDICE D - Código Fonte Plotar Ação de Controle <i>Online</i>	23
APÊNDICE A - Comparação dos Transistores	26
APÊNDICE B - Ziegler-Nichols Malha Aberta	27

LISTA DE FIGURAS

	<u>Pág.</u>
1.1 Esquema elétrico do projeto.	1
2.1 Disposição do <i>hardware</i>	4
2.2 Leitura de temperatura aquecimento contínuo.	5
2.3 FT da planta.	6
2.4 Método de Ziegler-Nichols.	7
2.5 Mapeamento entre os planos s e z	8
2.6 Configuração da arquitetura do sistema.	9
2.7 Resposta ao degrau, e LGR.	9
2.8 Adequação às especificações.	10
2.9 Sistema malha fechada.	11
2.10 Estrutura da realimentação linear da técnica Back Calculation.	11
3.1 Procedimento experimental.	12
3.2 Procedimento experimental, modificado.	13
3.3 Experimento 1, tempo de pico.	13
3.4 Experimento 2, tempo de pico.	13
3.5 Experimento 1, tempo de pico, ação de perturbação do cooler.	14
A.1 Valores máximos BC548.	26
A.2 Valores máximos TIP31C.	26
B.1 Tabela Ziegler-Nichols.	27

CAPÍTULO 1

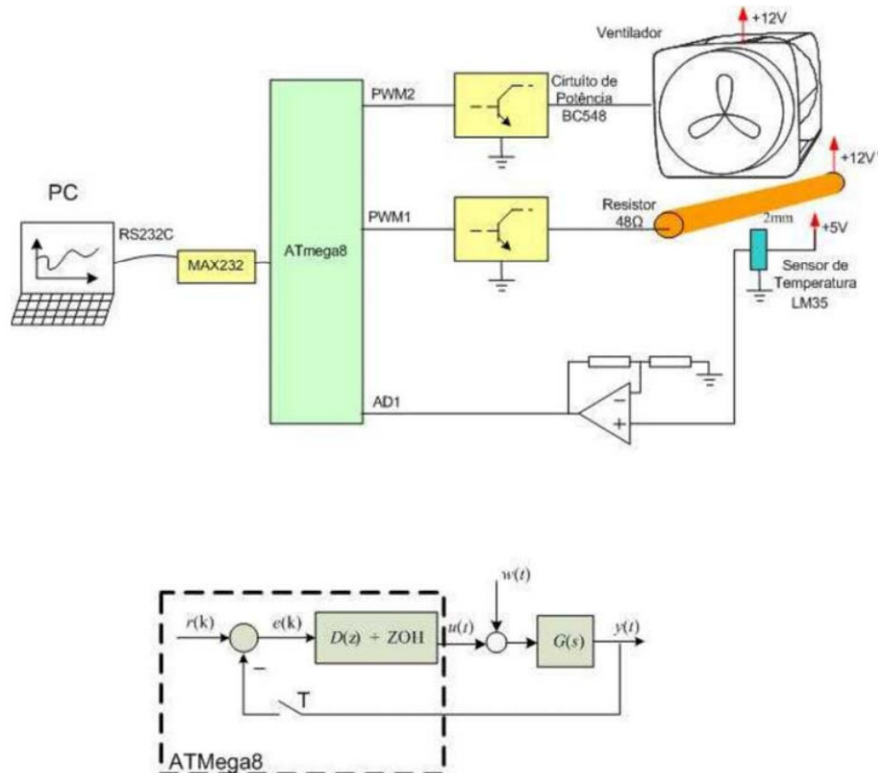
Introdução

O presente trabalho consiste em projetar controlador PID anti-windup discreto que atenda determinadas especificações. A variável controlada é temperatura, é utilizado microcontrolador para gerar tensão por largura de banda - PWM - e aquecer as resistências elétricas.

A Figura 1.1 é o esquema elétrico indicado para execução do trabalho. O sistema inclui transistores para limitar a corrente elétrica que aumenta a temperatura, e para gerar onda senoidal de funcionamento do cooler; o qual é utilizado como fonte de perturbação; capacitores para filtrar o sinal da temperatura; sensor de temperatura. A conversão da leitura da porta analógica A0 do microcontrolador para °C é apresentado na Equação 1.1.

$$\begin{aligned}
 A0_value &\rightarrow \{0 - 1023\} \\
 1^\circ C &\rightarrow 10mV \\
 Temperatura &= \frac{[A0_value] \cdot [5V/1023]}{10mV}
 \end{aligned} \tag{1.1}$$

Figura 1.1 - Esquema elétrico do projeto.



Para projetar o controlador PID, e converter do tempo contínuo para discreto foi utilizado o método de Euler (emulação), especificamente *backward difference*. Equação 1.2, relação matemática entre s e z , T é o período de amostragem. A equação a diferenças, obtida deste método, deve ser implementada no microcontrolador. O procedimento experimental tem duração de 30 minutos, período de 400s do setpoint (onda quadrada), ação anti-windup; a partir de 1200s acionado ventilador como perturbação senoidal.

$$s \approx \frac{z - 1}{Tz} \quad (1.2)$$

Especificações do projeto:

- a) Sobrepasso projetado em malha fechada de $\leq 40\%$;
- b) Tempo de pico $\leq 20s$;
- c) Rejeição de perturbações constantes;
- d) Período de amostragem 1s;
- e) Resolução da temperatura $\leq 0,1^{\circ}C$.

CAPÍTULO 2

Metodologia

O capítulo de Metodologia trata de como foi desenvolvido o projeto do controlador, os *softwares* utilizados e a montagem do experimento. O desenvolvimento do trabalho é dividido da seguinte forma:

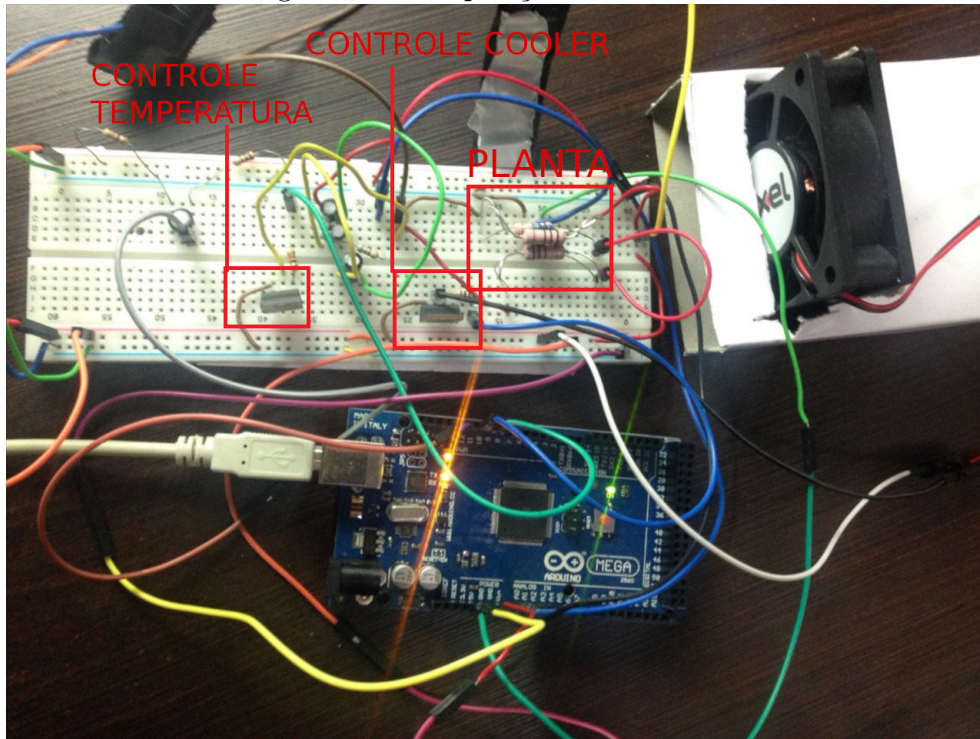
- 1) Montagem do *hardware*, foram feitas adaptações em relação ao projeto da Figura 1.1 para atender às especificações;
- 2) Obter a função de transferência da planta, com base em dados experimentais que foram coletados com o sistema em malha aberta;
- 3) Aplicar o método de Ziegler-Nichols para encontrar as constantes proporcional (K_p), integral (K_i) e derivativo (K_d) do PID;
- 4) Com o método de Euler, encontrar a transformada Z da função de transferência do controlador e da planta;
- 5) Com a ferramenta **sisotool** visualizar o LGR - Lugar das Raízes - e modificar os pólos, caso necessário, para atender as especificações do projeto;
- 6) Escrever no microcontrolador a equação a diferenças;
- 7) Etapa de testes e análise dos resultados.

2.1 MONTAGEM DO EXPERIMENTO

Os materiais utilizados no experimento são: 1 fonte 12VCC (corrente 1A), 1 multímetro digital, 3 resistores 100Ω (2W), 2 resistores 100Ω (1W), 2 transistores TIP31C, 3 capacitores de lítio $10\mu F$, 1 *protoboard*, 1 sensor de temperatura LM35, 1 *push button*, 1 microcontrolador Arduino Mega 2560, cooler 12VCC cabos e *jumpers*.

A Figura 2.1 apresenta a bancada em que os experimentos foram feitos, e indica partes específicas dos componentes. O botão, ao ser pressionado, interrompe a visualização da ação de controle em tempo real.

Figura 2.1 - Disposição do *hardware*.



O amplificador operacional não foi utilizado, principalmente em função da falta da fonte simétrica $\pm 12\text{VCC}$ necessário para seu funcionamento. Para tratar o sinal de saída do sensor de temperatura, foram utilizados três capacitores em paralelo, capacitância equivalente de $30\mu\text{F}$. Essa substituição foi resultado de diferentes montagens que foram testadas, a atual foi que se obteve menor ruído na leitura da temperatura durante o período de meia hora do experimento.

O desafio de obter o tempo de pico menor que 20s, resultou na modificação do transistor BC548 para o TIP31C, como pode ser verificado no Anexo [A](#) deste trabalho, os valores de corrente do primeiro transistor são de 100mA ou 200mA, enquanto do segundo são de 1A a 5A. Os resistores usados de 1 e 2W tem aquecimento mais rápido do que outras combinações testadas de 3, 5, e 10W de potência.

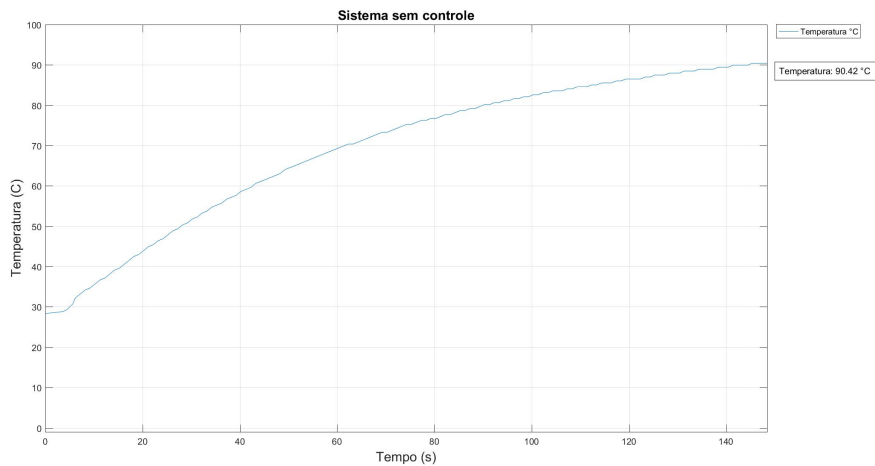
2.2 FUNÇÃO DE TRANSFERÊNCIA DA PLANTA

O método para obter a função de transferência da planta, consiste em utilizar a saída PWM do Arduino em 100% de *Duty Cycle* por período de tempo superior a 20 minutos. Os dados desse aquecimento constante são armazenados no *workspace* do Matlab, e ferramentas desse programa são usadas para obter a FTMA. O resultado gráfico é apresentado na Figura 2.2, o Apêndice A mostra o código fonte do microcontrolador que gerou este aquecimento, o Apêndice B é o código fonte do Matlab para plotar o gráfico e armazenar os dados.

O comando do Arduino `analogWrite(pin,value)` indica o pino a ser escrito o *duty cycle* do PWM, varia de 0 a 255 (100% *duty cycle*) ([ARDUINO.CC](#)). Na Figura 2.2 o período do experimento foi de 140s e foi interrompido, tendo em vista temperatura alcançada de 90,42°C, há riscos de causar danos a *protoboard* se mantida por período longo, a temperatura máxima suportada por maior parte das *protoboard* é de 80°C ([FILIPEFLOP.COM](#)).

Na Equação 2.1, a primeira linha cria um objeto no tempo contínuo, contém o sinal de saída (`temperatura_saida`) e o sinal de entrada (`A`), ambos vetores de mesmo tamanho, o tempo de amostragem de 1s. Todos elementos do vetor '`A`' são 1, para analisar a resposta ao degrau do sistema. A segunda linha o comando `tfest - transfer function estimation` - estima a função de transferência do objeto `data`, considera o número de pólos igual a 1.

Figura 2.2 - Leitura de temperatura aquecimento contínuo.



```
data = iddata(temperatura_saida, A, 1)
sys = tfest(data, 1)
```

(2.1)

Figura 2.3 - FT da planta.

```
sys =  
  
From input "u1" to output "y1":  
1.452  
-----  
s + 0.01464  
  
Continuous-time identified transfer function.  
  
Parameterization:  
Number of poles: 1   Number of zeros: 0  
Number of free coefficients: 2  
Use "tfdata", "getpvec", "getcov" for parameters and their uncertainties.  
  
Status:  
Estimated using TFEST on time domain data "data".  
Fit to estimation data: 96.94% (simulation focus)  
FPE: 0.3301, MSE: 0.3171
```

A Figura 2.3 apresenta a FT da planta, resultado da sequência descrita nesta seção. A adequação aos dados com 1 pólo e nenhum zero foi de 96.94%.

2.3 MÉTODO DE ZIEGLER-NICHOLS

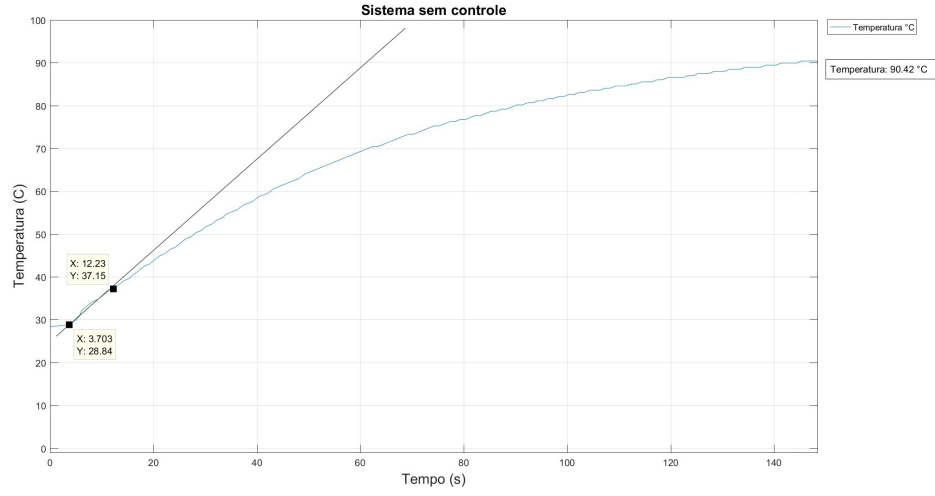
Esta seção é dedicada à descrição de como foi aplicado o método citado para obter os parâmetros K_p , K_i , K_d do controlador PID. A Figura 2.4 constitui a parte gráfica necessária para este método, a tangente traçada permite encontrar o valor de L e T . O Anexo B contém a tabela modelo em que os cálculos da Tabela 2.1 são baseados.

A Equação 2.2 é a função de transferência do controlador PID em termos do ganho proporcional - K_p - tempo integral - T_i - e tempo derivativo - T_d . A Equação 2.3 é a mesma função de transferência em termo dos ganhos proporcional, integral e derivativo.

Tabela 2.1 - Parâmetros do controlador.

T=8.53	L=3.70		
	K_p	T_i	T_d
P	2.30	∞	0
PI	2.07	12.34	0
PID	2.76	7.41	1.85

Figura 2.4 - Método de Ziegler-Nichols.



$$G_c(s) = Kp\left(1 + \frac{1}{T_i s} + T_d s\right)$$

$$Ki = \frac{Kp}{T_i} \quad (2.2)$$

$$Kd = Kp \cdot T_d$$

$$G_c(s) = Kp + \frac{Ki}{s} + Kd \cdot s \quad (2.3)$$

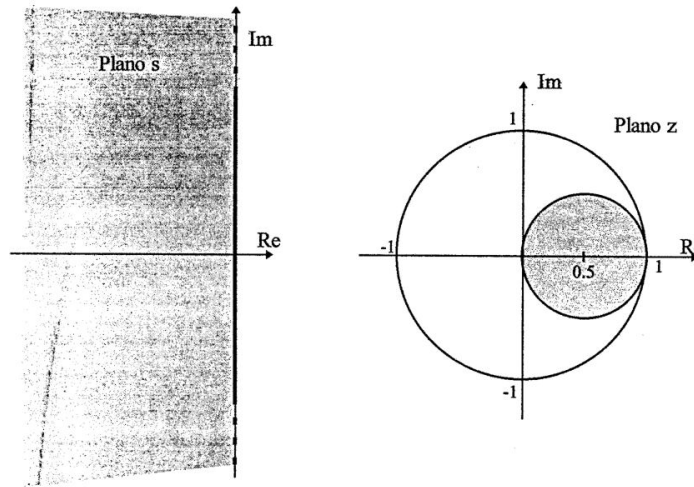
A Equação 2.4 resulta da aplicação do método descrito nesta seção, a função de transferência no domínio do tempo contínuo do controlador PID.

$$G_c(s) = \frac{5.12s^2 + 2.76s + 0.37}{s} \quad (2.4)$$

2.4 MÉTODO DE EULER

Neste método a equação que relaciona s e z foi apresentada no capítulo 1. A Figura 2.5 apresenta o mapeamento dos pólos do tempo contínuo para o domínio discreto.

Figura 2.5 - Mapeamento entre os planos s e z .



Fonte: (SOARES, 1996).

A Equação 2.5 mostra a função de transferência no domínio z do controlador e da planta, após ser utilizado o método de Euler.

$$\begin{aligned} &\text{FT CONTROLADOR} \\ G_c(z) &= \frac{8.252z^2 - 12.99z + 5.116}{z^2 - z} \end{aligned} \quad (2.5)$$

$$\begin{aligned} &\text{FT PLANTA} \\ G_p(z) &= \frac{1.431z}{z - 0.9856} \end{aligned}$$

2.5 LUGAR DAS RAÍZES

A presente seção apresenta o desenho do LGR, foi utilizado a ferramenta *sisotool*. A Figura 2.6 a configuração do diagrama de blocos do sistema em malha fechada, é a configuração da arquitetura do sistema. O elemento **C** recebe a FT do controlador e o elemento **G** recebe a FT da planta, ambas no domínio z .

A Figura 2.7 mostra a resposta ao degrau e o LGR que resulta da configuração feita no programa. As especificações, ver capítulo 1, foram feitas através da opção *Design Requirements*, são essas: tempo de subida menor ou igual 20s, percentual de sobressinal até 40%, Figura 2.8, o resultado desta modificação feita no controlador. A Equação 2.6 é a FT do controlador, resultado da adequação indicada nesta seção.

Figura 2.6 - Configuração da arquitetura do sistema.

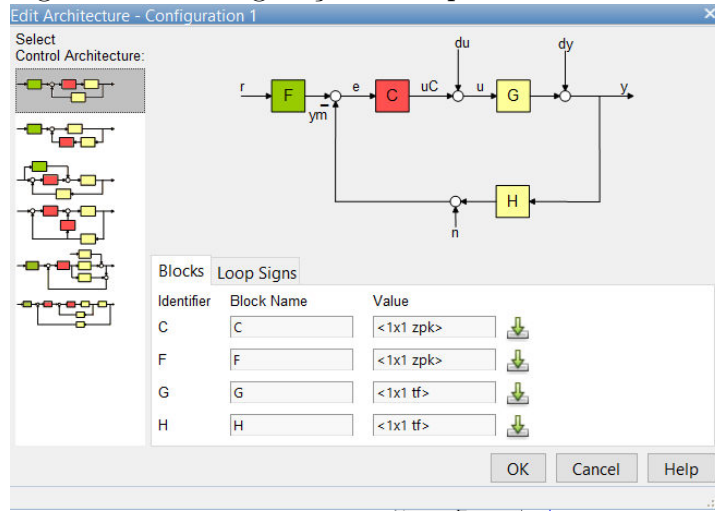
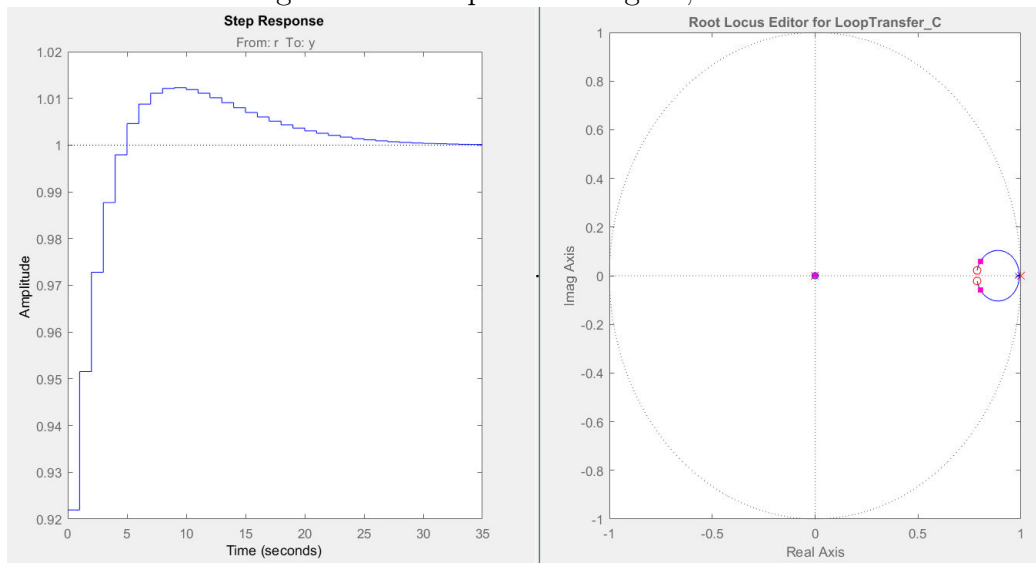
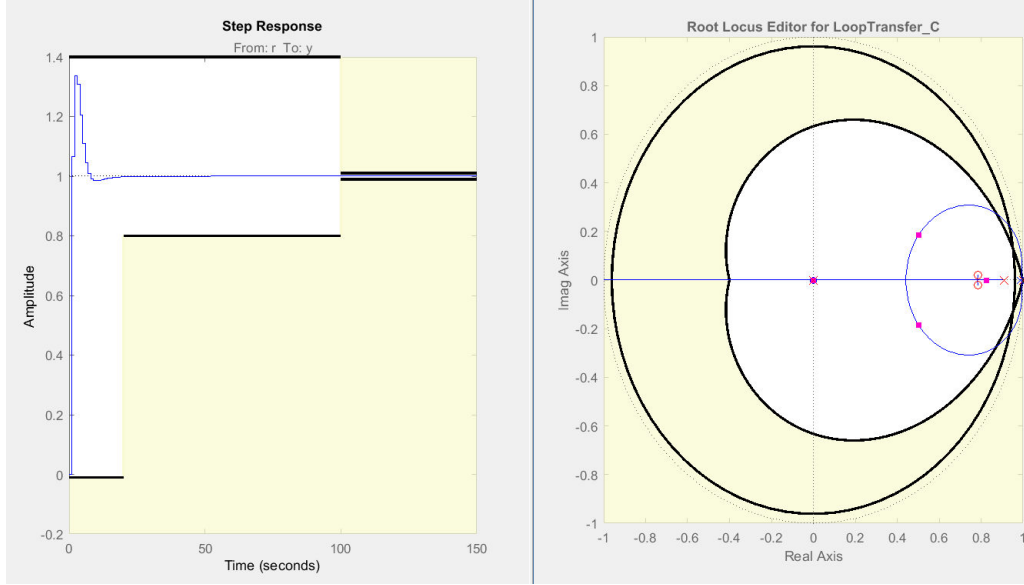


Figura 2.7 - Resposta ao degrau, e LGR.



$$G_c(z) = \frac{0.74z^2 - 1.17z + 0.46}{(z)(z - 1)(z - 0.9098)} \quad (2.6)$$

Figura 2.8 - Adequação às especificações.



2.6 EQUAÇÃO A DIFERENÇAS

A equação a diferenças do controlador foi obtida conforme Equação 2.7 e Equação 2.8, foi considerado para implementar no microcontrolador 3 tempos anteriores ($kT - 3$). A Figura 2.10 apresenta o diagrama de blocos do sistema em malha fechada. A Figura 2.9 é o diagrama de blocos que foi considerado para evitar a saturação do elemento integrador do PID (K_i).

A Equação 2.9, onde o sinal $u(t)$ é o sinal não saturado e $v(t)$ o sinal saturado, K_t constante que determina quanto é subtraído da parcela a ser integrada (NETO, 2005). Esta relação foi implementada no microcontrolador como técnica antiwindup back calculation quando a saída do controlador ultrapassa o valor máximo.

A referência é o valor constante, 40 ou 50°C, a realimentação do sistema recebe a temperatura medida pelo sensor a cada período de amostragem. A saída do controlador é utilizada para modificar o *duty cycle* da tensão PWM que aquece as resistências.

$$\frac{OUTPUT}{INPUT} = \frac{0.74z^2 - 1.17z + 0.46}{(z)(z - 1)(z - 0.9098)} \quad (2.7)$$

CAPÍTULO 3

Resultados e Discussão

Este capítulo apresenta o resultado da ação de controle de temperatura, conforme detalhado nos capítulos anteriores. O simulador gráfico mostra na tela intervalo de 50s, garantindo assim visualização adequada dos dados de temperatura e tensão PWM durante o intervalo de 30 minutos do experimento. Ao final do intervalo de tempo definido, é gerado uma figura que contém os dados do tempo 0 ao 1800s.

As Figuras 3.1 e 3.2 apresentam o gráfico gerado do período completo do experimento. Na parte superior temperatura, e na inferior a tensão PWM do cooler (vermelho) e do controle de temperatura (azul). Apesar de similares, o segundo gráfico foi modificado em relação à constante da ação antiwindup.

As Figura 3.3 e 3.4 apresentam o tempo de pico de cada configuração relatada neste capítulo. O primeiro, tempo de pico aproximado de 30s, alcança o setpoint em 19.1s. O segundo, tempo de pico de 34.1s, alcança o setpoint em 26.1s (tempo = 200s). A Figura 3.5 apresenta o resultado do sinal de controle sob efeito da ventilação como onda senoidal, o tempo de pico passa para 40s e tempo que alcança o setpoint 31s, sistema do primeiro experimento (tempo = 1400s).

Figura 3.1 - Procedimento experimental.

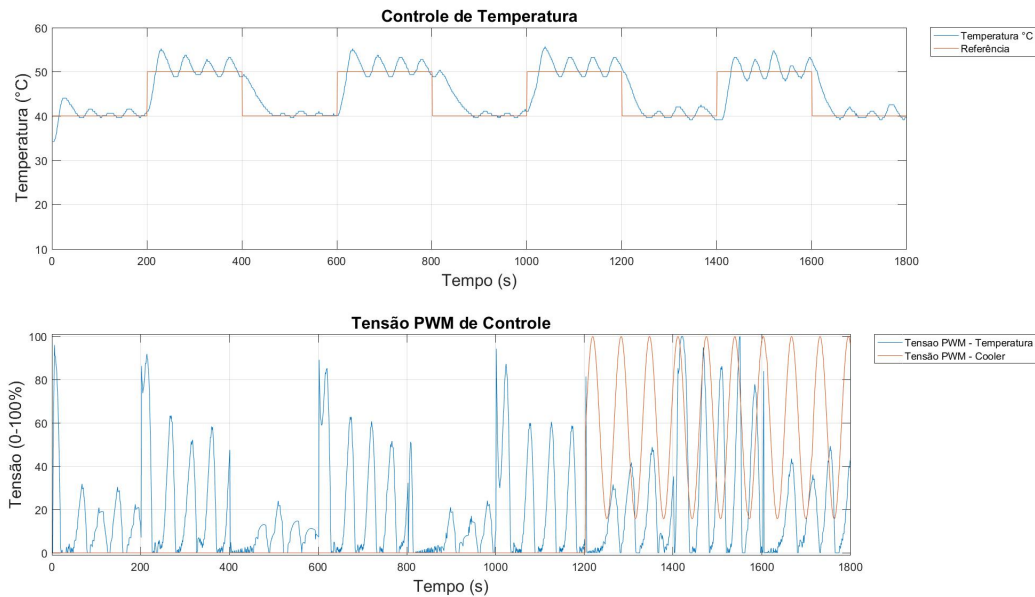


Figura 3.2 - Procedimento experimental, modificado.

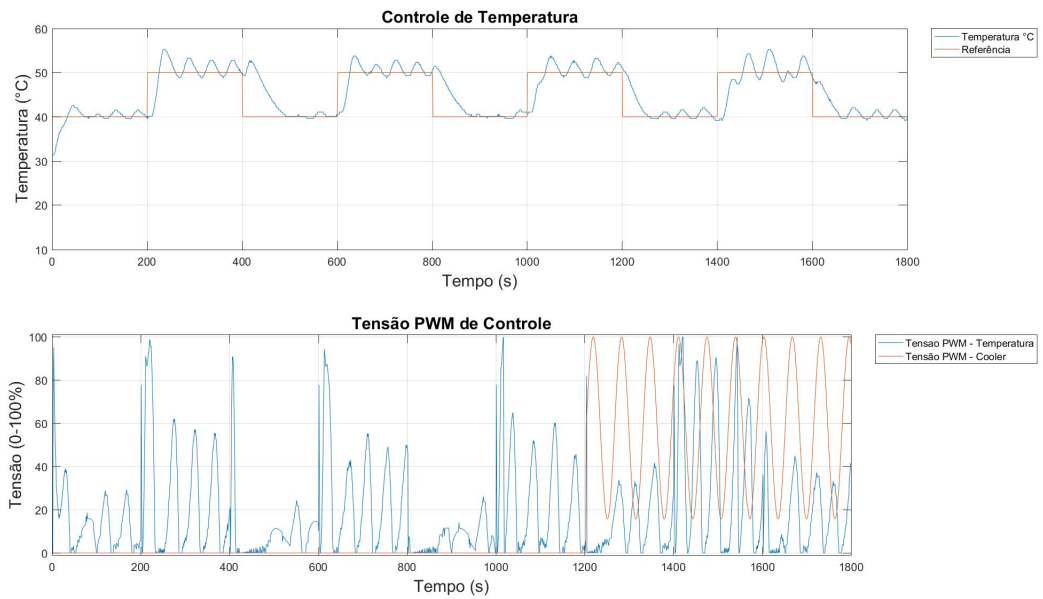


Figura 3.3 - Experimento 1, tempo de pico.

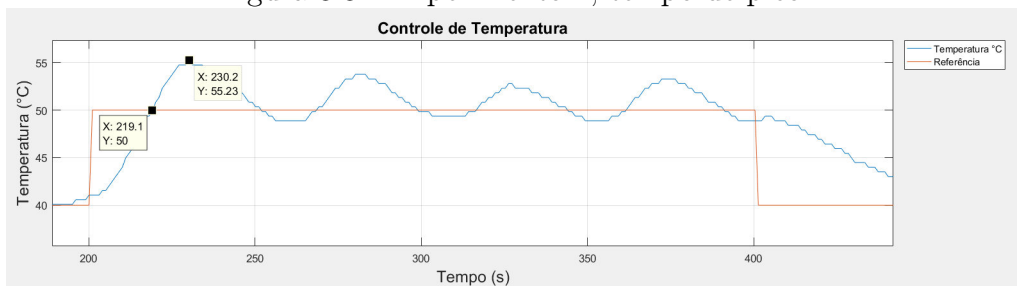


Figura 3.4 - Experimento 2, tempo de pico.

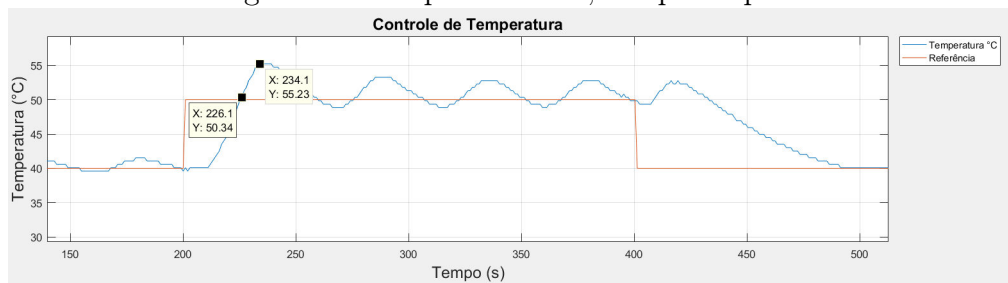
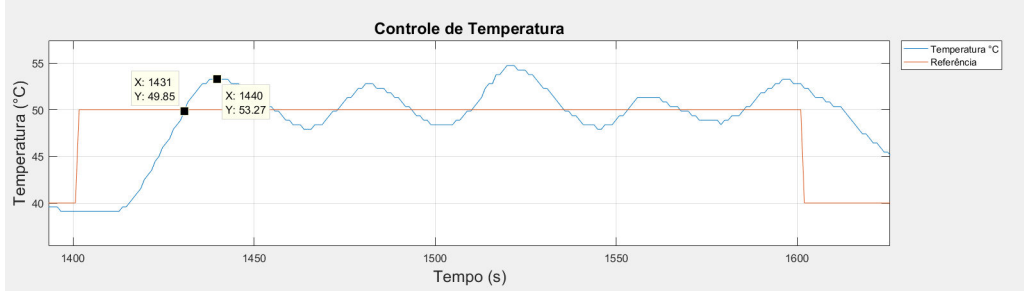


Figura 3.5 - Experimento 1, tempo de pico, ação de perturbação do cooler.



CAPÍTULO 4

Conclusão

A montagem dos componentes na *protoboard* no início tem por objetivo adaptar o projeto elétrico de modo que não tenha perda na funcionalidade, e tenha capacidade de atingir às especificações quanto ao tempo de pico, estabilização e percentual de sobressinal.

A utilização de programas foi aplicado na coleta de dados, visualização em tempo real, e no projeto do controlador. Foi possível dessa maneira obter a função de transferência da planta, com o método Ziegler-Nichols os parâmetros do controlador PID, discretizá-las com o método de Euler, e com recursos computacionais adaptar a FT do controlador para obedecer a ação de controle requerida.

A equação a diferenças foi implementada no microcontrolador Arduino Mega 2560, foi comparado faixas de valores da saída do PID e o resultado do período completo de meia hora de análise foi estudado. A técnica antiwindup back calculation foi utilizada para solucionar o problema de saturação do termo integrador da saída do controlador. A perturbação do cooler não modificou significativamente os tempos do sinal de controle, a configuração da planta (potência dos resistores utilizados) tem capacidade em malha aberta de aquecimento mais de um grau Celsius por segundo. O método para validar os resultados foi análise gráfica.

REFERÊNCIAS

ARDUINO.CC. **analogWrite()**; [S.l.]:

[<https://www.arduino.cc/reference/en/language/functions/analog-io/analogwrite/>](https://www.arduino.cc/reference/en/language/functions/analog-io/analogwrite/).

Acesso: 17 de novembro de 2018. 5

FILIPEFLOP.COM. **Protoboard 830 Pontos**. [S.l.]:

[<https://www.filipeflop.com/produto/protoboard-830-pontos/#tab-description>](https://www.filipeflop.com/produto/protoboard-830-pontos/#tab-description).

Acesso: 17 de novembro de 2018. 5

NETO, A. H. **Técnicas Anti-Windup em Estruturas de Controle PID, RST e GPC**. [S.l.]: [<https:](https://repositorio.ufsc.br/bitstream/handle/123456789/102669/223414.pdf?sequence=1)

[//repositorio.ufsc.br/bitstream/handle/123456789/102669/223414.pdf?sequence=1>](https://repositorio.ufsc.br/bitstream/handle/123456789/102669/223414.pdf?sequence=1).

Acesso: 29 de novembro de 2018, 2005. 10, 11

SOARES, P. M. O. dos R. **Discretização de Controladores Contínuos**. [S.l.]: DEEC FEUP. [<https:](https://repositorio-aberto.up.pt/bitstream/10216/11227/2/Texto%20integral.pdf)

[//repositorio-aberto.up.pt/bitstream/10216/11227/2/Texto%20integral.pdf>](https://repositorio-aberto.up.pt/bitstream/10216/11227/2/Texto%20integral.pdf). Acesso:

17 de novembro de 2018, 1996. 8

APÊNDICE A

Código Fonte Aquecimento Constante

```
int value;
long previousMillis2=0; //PRINT VALORES
long interval2=1000; //PRINT VALORES
const int sensorValue = A0;
int button = digitalRead(12); // botao de parada
float temperatura;

void setup()
{
  Serial.begin(9600);
}
void loop()
{
  //aquecimento das resistencias
  analogWrite(9,255);
// CONDICAO PARADA MATLAB
  button = digitalRead(12);
  temperatura = (float(analogRead(sensorValue))*5/(1023))/0.01;
//INTERVALO QUE ATUALIZA VALORES COMUNICACAO SERIAL
  unsigned long currentMillis2=millis();
  if (currentMillis2-previousMillis2>interval2){
    previousMillis2=currentMillis2;
//print na tela valores de temperatura e o tempo em segundos
    Serial.print(temperatura);
    Serial.print("\n");
    Serial.print("tempo:␣"); Serial.print(currentMillis2/1000);
    Serial.print("\n");
  }
}
```

APÊNDICE B

Código Fonte do Matlab para Obter a FT da Planta

```
1 clear
2 clc
3 %% inicio COMUNICACAO SERIAL
4 comecar_serial=1;
5 terminar_serial=0;
6 if terminar_serial==1
7     fclose(s)
8     delete(s)
9     delete(instrfind)
10 end
11
12 if comecar_serial==1
13     s = serial('COM3','BAUD',9600);
14     fopen(s)
15 end
16
17 % DEFINE O EIXO Y
18 yMax = 100; %Máximo valor de y
19 yMin = 0; %Mínimo valor de y
20 plotGrid = 'on';
21 min = -1; % y mínimo - no gráfico
22 max = 100; % y maximo no gráfico
23 delay = 0;
24
25 %% DECLARACAO DE VARIAVEIS
26 time = 3000;
27 periodo=5; %segundos
28 BOTAO=0;
29 tensao_saida_lm35 = 0;
30 temperatura_saida=0;
31 setpoint=1; %SETPOINT
32 output_saida_pid=0;
33 %%
34 count = 0; % CONTADOR
35
36 %% CONFIGURAÇÃO DO GRÁFICO
37 plotGraph_temperatura_saida = plot(time, temperatura_saida, 'DisplayName', 'Temperatura C');
38 hold on
39 tic
40 while ishandle(plotGraph_temperatura_saida) && BOTAO==0 %LOOP PARA PLOTAR EM TEMPO REAL
41 %RECEBE AS VARIÁVEIS DO ARDUINO
42 if terminar_serial==0
43     for i=1:5;
44         VARIAVEIS =fscanf(s,'%f');
45         RESP(i)=VARIAVEIS(1);
46     end
47     TEMPERATURA=RESP(1);
48     BOTAO=RESP(4);
49     SETPOINT=RESP(3);
50     OUTPUT=RESP(2);
51     TENSAO=RESP(5);
52 end
53 %% VARIAVEIS RECEBEM DADOS SERIAL DO ARDUINO
54 tensao_lm35=TEMPERATURA/100;
55 temperatura=TEMPERATURA;
56 tensao_pwm=TENSAO;
57 setpoint=SETPOINT;
58 %% time RECEBE TEMPO REAL
59 count = count + 1;
60 time(count) = toc;
61 %% VARIAVEIS A SEREM PLOTADAS
62 tensao_saida_lm35(count) = tensao_lm35(1); % tensao_saida_lm35 tensao saida lm35
63 temperatura_saida(count)=temperatura(1); % temperatura
64 setpoint_saida(count)=setpoint(1);
65 output_saida_pid(count)=tensao_pwm(1);
66 %CONFIGURA NOMES DOS EIXOS, TÍTULO E LEGENDA DO PLOT
67 title('Sistema sem controle','FontSize',15);
68 xlabel(xLabel,'FontSize',15);
69 ylabel(yLabel,'FontSize',15);
70 set(plotGraph_temperatura_saida,'XData',time,'YData',temperatura_saida); % temperatura
71 legend('Location','northeastoutside')
72 delete(findall(gcf,'type','annotation'))
73 dim = [.83 .55 .3 .3];
74 str = sprintf('Temperatura: %0.2f C',temperatura_saida(count));
75 annotation('textbox',dim,'String',str,'FitBoxToText','on');
```

```

76     axis([yMin yMax min max]);
77     grid(plotGrid);
78     axis([0 time(count) min max]);
79     %ATUALIZA O GRÁFICO
80     pause(delay);
81     if (time(count)>1800)
82         BOTAO=1;
83     end
84 end
85 disp('Plot Closed and arduino object has been deleted');
86 %FECHA A COMUNICAÇÃO SERIAL COM O ARDUINO
87 fclose(s)
88 delete(s)
89 delete(instrfind)

```

APÊNDICE C

Código Fonte Controle PID no Microcontrolador

```
1
2 //Declaracao das variaveis
3 float vetor_temp[4];
4 float temp_atual=0;
5 float input_atual=0;
6 float output_atual=0, temp_pwm=0, limite_inf=0;
7 float setp_atual=0;
8 float output[4];
9 float input[4];
10 float setp[4];
11 int value, unico=0;
12 int count=0;
13 float count_cooler=0, cooler_pwm=0, angulo=0, pi=3.1415, periodo=64; //variaveis acao do cooler
14 float tensao=0;
15 float Setpoint=40;
16 long previousMillis_temp=0;
17 long previousMillis_euler=0;
18 long previousMillis1=0; //SETPOINT
19 long previousMillis2=0; //PRINT VALORES
20 long interval_temp=1000;
21 long interval_euler=1000;
22 long interval1=200000; //SETPOINT
23 long interval2=1000; //PRINT VALORES
24 //
25 float ki=0.373; //ELEMENTO INTEGRADO DO PID
26 //anti windup h(t)= constante*(sinal_nao_saturado-sinal_saturado)
27 float limite=9; //sinal_nao_saturado
28 float k=-5; //constante anti windup
29 const int sensorValue = A0;
30 int button = digitalRead(12);
31 float temperatura;
32
33 void setup()
34 {
35     Serial.begin(9600);
36 }
37
38 void loop()
39 {
40     temperatura = (float(analogRead(sensorValue))*5/(1023))/0.01;
41
42     // CONDICAO PARADA MATLAB
43     button = digitalRead(12);
44
45     //A CADA 1s MUDA O VALOR DO Setpoint
46     unsigned long currentMillis=millis();
47     if (currentMillis-previousMillis>interval1){
48         previousMillis=currentMillis;
49         if (Setpoint==40){
50             Setpoint=50;
51         } else Setpoint=40;
52     }
53
54     // CRIA LISTA DE VALORES DA TEMPERATURA
55     unsigned long currentMillis_temp=millis();
56     if (currentMillis_temp-previousMillis_temp>interval_temp){
57         previousMillis_temp=currentMillis_temp;
58         if (count<=3){
59             vetor_temp[count]=temperatura;
60             setp[count]=Setpoint;
61             temp_atual=vetor_temp[count];
62             input[count]=Setpoint-temperatura;
63             input_atual=input[count];
64             setp_atual=setp[count];
65         }
66         if (count>3){
67             vetor_temp[0]=vetor_temp[1];
68             input[0]=input[1];
69             setp[0]=setp[1];
70             //
71             vetor_temp[1]=vetor_temp[2];
72             input[1]=input[2];
73             setp[1]=setp[2];
74             //
75             vetor_temp[2]=vetor_temp[3];
```



```

76     input[2]=input[3];
77     setp[2]=setp[3];
78     //
79     vetor_temp[3]=temperatura;
80     input[3]=Setpoint-vetor_temp[3];
81     setp[3]=Setpoint;
82     temp_atual=vetor_temp[3];
83     input_atual=input[3];
84     setp_atual=setp[3];
85 }
86 //}
87
88 // PID EQUACAO A DIFERENCAS
89
90 //MODIFICA A CONSTANCE DA TECNICA ANTIWINDUP K_t
91 if (Setpoint==40){
92     if (input_atual>=6){k=-1;}
93     if (input_atual<6){k=-10;}
94 }
95     else {
96     if (input_atual>=6){k=-0.5;}
97     if (input_atual<6){k=-20;}
98     }
99
100 //INICIO DA EQ A DIFERENCA
101 if (count==0){
102     output[count]=0;
103     output_atual=output[count];
104 }
105 if (count==1){
106     output[count]=1.91*output[count-1]+ 0.74*input[count-1];
107     if (output[count]>limite){output[count]=output[count-1]+(ki-(limite-output[count]))*(k));} //BACK CALC
108     if(output[count]<0){output[count]=0;}
109     output_atual=output[count];
110 }
111 if (count==2) {
112     output[count]=-0.91*output[count-2]-1.17*input[count-2] + 1.91*output[count-1]+ 0.74*input[count-1];
113     if (output[count]>limite){output[count]=output[count-1]+(ki-(limite-output[count]))*(k));} //BACK CALC
114     if(output[count]<0){output[count]=0;}
115     output_atual=output[count];
116 }
117 if (count==3) {
118     output[count]=0.46*input[count-3] -0.91*output[count-2]-1.17*input[count-2] + 1.91*output[count-1]+ 0.74*input[count-1];
119     if (output[count]>limite){output[count]=output[count-1]+(ki-(limite-output[count]))*(k));} //BACK CALC
120     if(output[count]<0){output[count]=0;}
121     output_atual=output[count];
122 }
123
124 if (count>3){
125     output[0]=output[1];
126     output[1]=output[2];
127     output[2]=output[3];
128     output[3]=0.46*input[0] -0.91*output[1]-1.17*input[1] + 1.91*output[2]+ 0.74*input[2];
129     if (Setpoint==50 && unico==0){output[3]=7; unico=1;} //REINICIA O OUTPUT PARA MANTER A RELACAO DA
130         ↪ DIFERENCA DE TEMPERATURA
131     if(Setpoint==40){unico=0;}
132     if (output[3]>limite){output[3]=output[2]+(ki-(limite-output[3]))*(k);} //BACK CALC
133     if(output[3]<0){output[3]=0;} //REJEITA VALORES NEGATIVOS
134     output_atual=output[3];
135 }
136
137 // PWM OUTPUT
138 //TEMPERATURA
139 temp_pwm=output_atual*255/limite;
140 if(temp_pwm>255){temp_pwm=255;}
141 analogWrite(9,temp_pwm);
142
143 if (count_cooler>=1200){
144     //ACAO DO COOLER
145     cooler_pwm = 40 + (sin(angulo)+1)*215/2;
146     analogWrite(10,cooler_pwm);
147     cooler_pwm=cooler_pwm*100/255;
148     angulo=angulo+5.625*pi/180;
149     if(angulo>=6.2832){angulo=0+5.625*pi/180;}
150 } count_cooler++;
151 //FIM Acao COOLER
152
153 temp_pwm=temp_pwm*100/255; // VIZUALIZAR PWM EM TERMO DE PORCENTAGEM
154

```

```

155     if (count<=3){
156         count=count+1;}
157     }
158     //INTERVALO QUE ATUALIZA VALORES COMUNICACAO SERIAL
159     unsigned long currentMillis2=millis();
160     if (currentMillis2-previousMillis2>interval2){
161         previousMillis2=currentMillis2;
162
163         //INICIO DO PRINT MATLAB
164         Serial.print(temp_atual);
165         Serial.print("\n");
166
167         Serial.print(output_atual);
168         Serial.print("\n");
169
170         Serial.print(Setpoint);
171         Serial.print("\n");
172
173         Serial.print(button);
174         Serial.print("\n");
175
176         Serial.print(temp_pwm);
177         Serial.print("\n");
178
179         Serial.print(cooler_pwm);
180         Serial.print("\n");
181         //FIM PRINT MATLAB
182     }
183 }

```

APÊNDICE D

Código Fonte Plotar Ação de Controle *Online*

```
1 clear
2 clc
3
4 %% inicio COMUNICACAO SERIAL
5 comecar_serial=1;
6 terminar_serial=0;
7
8 if terminar_serial==1
9     fclose(s)
10    delete(s)
11    delete(instrfind)
12 end
13
14 if comecar_serial==1
15     s = serial('COM3','BAUD',9600);
16     fopen(s)
17 end
18
19
20
21 yMax = 100; %valor maximo de y
22 yMin = 0; % valor minimo de y
23 plotGrid = 'on';
24 min = 10; % eixo y minimo
25 max = 60; % eixo y maximo
26 delay = 0;
27
28 %% DECLARACAO DE VARIAVEIS
29 time = 3000;
30 BOTAO=0;
31 tensao_saida_lm35 = 0;
32 temperatura_saida=0;
33 setpoint=1; %SETPOINT
34 output_saida_pid=0;
35 cooler_pwm_saida=0;
36 %%
37
38 count = 0;
39 %CRIAR AMBIENTE DO GRAFICO
40 figure('units','normalized','outerposition',[0 0 1 1]);
41 subplot(2,1,1);
42
43 plotGraph_temperatura_saida = plot(time, temperatura_saida, 'DisplayName', 'Temperatura C');
44 hold on
45 plotGraph_setpoint = plot(time, setpoint, 'DisplayName', 'Referência' );
46
47 subplot(2,1,2);
48 plotGraph_output_saida_pid = plot(time, output_saida_pid, 'DisplayName', 'Tenso PWM - Temperatura' );
49 hold on
50 plotGraph_cooler_pwm_saida = plot(time, cooler_pwm_saida, 'DisplayName', 'Tenso PWM - Cooler' );
51
52 tic
53
54 while ishandle(plotGraph_temperatura_saida) && BOTAO==0 %LOOP QUE EXECUTA DURANTE TEMPO DO EXPERIMENTO
55     % RECEBE VARIAVEIS DO ARDUINO
56     if terminar_serial==0
57         for i=1:6;
58
59             VARIAVEIS =fscanf(s,'%f');
60             RESP(i)=VARIAVEIS(1);
61
62         end
63         TEMPERATURA=RESP(1);
64         BOTAO=RESP(4);
65         SETPOINT=RESP(3);
66         OUTPUT=RESP(2);
67         TENSAO=RESP(5);
68         COOLER=RESP(6);
69     end
70
71 %% VARIAVEIS RECEBEM DADOS SERIAL DO ARDUINO
72 tensao_lm35=TEMPERATURA/100;
73 temperatura=TEMPERATURA;
74 tensao_pwm=TENSAO;
75 setpoint=SETPOINT;
```

```

76         cooler=COOLER;
77
78     %% time RECEBE TEMPO REAL
79     count = count + 1;
80     time(count) = toc;
81     %% VARIÁVEIS A SEREM PLOTADAS
82     tensao_saida_lm35(count) = tensao_lm35(1); % tensao_saida_lm35 tensao saida lm35
83     temperatura_saida(count)=temperatura(1); % temperatura
84     setpoint_saida(count)=setpoint(1);
85     output_saida_pid(count)=tensao_pwm(1);
86     cooler_pwm_saida(count)=cooler(1);
87
88     %plot SUPERIOR DA TEMPERATURA E REFERENCIA
89     subplot(2,1,1);
90     title('Controle de Temperatura','FontSize',15);
91     xlabel(xLabel,'FontSize',15);
92     ylabel(yLabel,'FontSize',15);
93     set(plotGraph_temperatura_saida,'XData',time,'YData',temperatura_saida); % temperatura
94
95     set(plotGraph_setpoint,'XData',time,'YData',setpoint_saida); %temperatura
96     legend('Location','northeastoutside')
97     delete(findall(gcf,'type','annotation'))
98     dim = [.83 .55 .3 .3];
99     str = sprintf('Temperatura: %0.2f C',temperatura_saida(count));
100    annotation('textbox',dim,'String',str,'FitBoxToText','on');
101
102    axis([yMin yMax min max]);
103    grid(plotGrid);
104    axis([time(count)-50 time(count) min max]);
105
106    %PLOT INFERIOR NA TELA, TENSÃO PWM DO COOLER E DO AQUECIMENTO DAS RESISTENCIAS
107    subplot(2,1,2);
108    title('Tenso PWM de Controle','FontSize',15);
109    xlabel(xLabel,'FontSize',15);
110    ylabel('Tenso (0-100%)','FontSize',15);
111    set(plotGraph_output_saida_pid,'XData',time,'YData',output_saida_pid);
112    set(plotGraph_cooler_pwm_saida,'XData',time,'YData',cooler_pwm_saida);
113
114    legend('Location','northeastoutside')
115    dim1 = [.83 .10 .3 .3];
116    dim2 = [.83 .06 .3 .3];
117    str1 = sprintf('Duty Cycle - Temperatura: %0.2f %%',output_saida_pid(count));
118    str2 = sprintf('Duty Cycle - Cooler: %0.2f %%',cooler_pwm_saida(count));
119    annotation('textbox',dim1,'String',str1,'FitBoxToText','on');
120    annotation('textbox',dim2,'String',str2,'FitBoxToText','on');
121    grid(plotGrid);
122    axis([time(count)-50 time(count) -1 101]);
123
124    %ATUALIZA O GRAFICO
125    pause(delay);
126    if (time(count)>1800)
127        BOTAO=1;
128        end
129    end
130    % CRIA FIGURA APOS TERMINO DO LOOP COM TODO O PERIODO DO EXPERIMENTO
131    figure('units','normalized','outerposition',[0 0 1 1]);
132    subplot(2,1,1);
133    x=time;
134    y=temperatura_saida;
135    y1=setpoint_saida;
136    plot(x,y, x,y1);
137    title('Controle de Temperatura','FontSize',15);
138    xlabel(xLabel,'FontSize',15);
139    ylabel(yLabel,'FontSize',15);
140    legend({'Temperatura C', 'Referência'},'Location','northeastoutside')
141    axis([yMin yMax min max]);
142    grid(plotGrid);
143    axis([0 time(count) min max]);
144
145    subplot(2,1,2);
146    x1=time;
147    y2=output_saida_pid;
148    y3=cooler_pwm_saida;
149    plot(x1,y2, x1, y3);
150    title('Tenso PWM de Controle','FontSize',15);
151    xlabel(xLabel,'FontSize',15);
152    ylabel('Tenso (0-100%)','FontSize',15);
153    legend({'Tenso PWM - Temperatura', 'Tenso PWM - Cooler'},'Location','northeastoutside');
154    grid(plotGrid);
155    axis([0 time(count) -1 101]);

```

```
156 |  
157 | % TERMINA A COMUNICACAO SERIAL  
158 | disp('Plot Closed and arduino object has been deleted');  
159 | fclose(s)  
160 | delete(s)  
161 | delete(instrfind)
```

A

Comparação dos Transistores

A Figura A.1 apresenta valores máximos, a temperatura de 25°C, do transistor BC548.

A Figura A.2 apresenta os valores máximos do transistor TIP31C, temperatura de 25°C.

Figura A.1 - Valores máximos BC548.

Maximum ratings ($T_A = 25^\circ\text{C}$)			Grenzwerte ($T_A = 25^\circ\text{C}$)		
			BC 546	BC 547	BC 548/549
Collector-Emitter-voltage	B open	V_{CE0}	65 V	45 V	30 V
Collector-Emitter-voltage	B shorted	V_{CES}	85 V	50 V	30 V
Collector-Base-voltage	E open	V_{CB0}	80 V	50 V	30 V
Emitter-Base-voltage	C open	V_{EB0}	6 V	6 V	5 V
Power dissipation – Verlustleistung		P_{tot}	500 mW ¹⁾		
Collector current – Kollektorstrom (DC)		I_C	100 mA		
Peak Coll. current – Kollektor-Spitzenstrom		I_{CM}	200 mA		
Peak Base current – Basis-Spitzenstrom		I_{BM}	200 mA		
Peak Emitter current – Emitter-Spitzenstrom		$-I_{EM}$	200 mA		
Junction temp. – Sperrschichttemperatur		T_J	150°C		
Storage temperature – Lagerungstemperatur		T_S	- 65...+ 150°C		

Fonte: <http://pdf.datasheetcatalog.com/datasheets/150/128380_DS.pdf>

Acesso: 16 de novembro de 2018.

Figura A.2 - Valores máximos TIP31C.

Absolute Maximum Ratings

Stresses exceeding the absolute maximum ratings may damage the device. The device may not function or be operable above the recommended operating conditions and stressing the parts to these levels is not recommended. In addition, extended exposure to stresses above the recommended operating conditions may affect device reliability. The absolute maximum ratings are stress ratings only. Values are at $T_C = 25^\circ\text{C}$ unless otherwise noted.

Symbol	Parameter		Value	Unit
V_{CBO}	Collector-Base Voltage	TIP31A	60	V
		TIP31C	100	
V_{CEO}	Collector-Emitter Voltage	TIP31A	60	V
		TIP31C	100	
V_{EBO}	Emitter-Base Voltage		5	V
I_C	Collector Current (DC)		3	A
I_{CP}	Collector Current (Pulse)		5	A
I_B	Base Current		1	A
T_J	Junction Temperature		150	°C
T_{STG}	Storage Temperature Range		-65 to 150	°C

Fonte: <http://www.mouser.com/ds/2/149/fairchild%20semiconductor_tip31a-549394.pdf>

Acesso: 16 de novembro de 2018.

B

Ziegler-Nichols Malha Aberta

A Figura B.1 apresenta a relação matemática entre L e T - encontrados analisando o gráfico do sistema em malha aberta - que resulta nos parâmetros Kc, Ti e Td do controlador PID.

Figura B.1 - Tabela Ziegler-Nichols.

Tipo de controlador	Kc	Ti	Td
P	T/L	∞	0
PI	0,9T/L	L/0,3	0
PID	1,2T/L	2L	0,5L